

## CEL EKSPLORACYJNY IDENTYFIKUJE POTENCJAŁ WIELKOSKALOWEGO PROJEKTU MIEDZIOWO-SREBROWEGO W NIEMCZECH

### NAJWAŻNIEJSZE INFORMACJE

- **Cel Eksploracyjny** prezentuje potencjał **wystąpienia mineralizacji miedziowej o globalnym znaczeniu** w Projekcie Miedziowym Tannenberg w Niemczech.
- **Cel Eksploracyjny uwzględnia mineralizację w stropie i w spągu, powyżej i poniżej łupku miedzionośnego Kupferschiefer**, to nowe spojrzenie na złożę, które nie było uwzględnione w historycznym bilansie z 1940 roku.
- **Walidacja dzięki eksploatacji złóż typu Kupferschiefer w Polsce**, w kopalniach KGHM Polska Miedź S.A. do 95% miedzi o potencjale wydobywczym występuje w piaskowcowym spągu i wapiennym stropie, analogicznie do Celu Eksploracyjnego w projekcie Tannenberg.
- **Oparcie na historycznych fundamentach.** Cel Eksploracyjny został wyznaczony na podstawie danych z historycznego raportu z 1940 r. z czasów rządów narodowo-socjalistycznych, historycznego raportu St Joe z 1984 roku, weryfikacji przez GreenX danych w drodze ponownego profilowania i opróbowania archiwalnych rdzeni z lat 80. oraz digitalizacji materiałów archiwalnych gromadzonych od sierpnia 2024 roku.
- **Punkt zwrotny Projektu.** Po określeniu Celu Eksploracyjnego, GreenX przechodzi obecnie od syntezy materiałów archiwalnych do aktywnych prac rozpoznawczych. Obejmą one m.in. wejście do historycznych kopalń podziemnych w celu wykonania testów metalurgicznych na poziomie Wstępnego Studium Wykonalności (*Scoping Study*), realizację badań sejsmicznych oraz rozpoczęcie pierwszego programu wierceń.

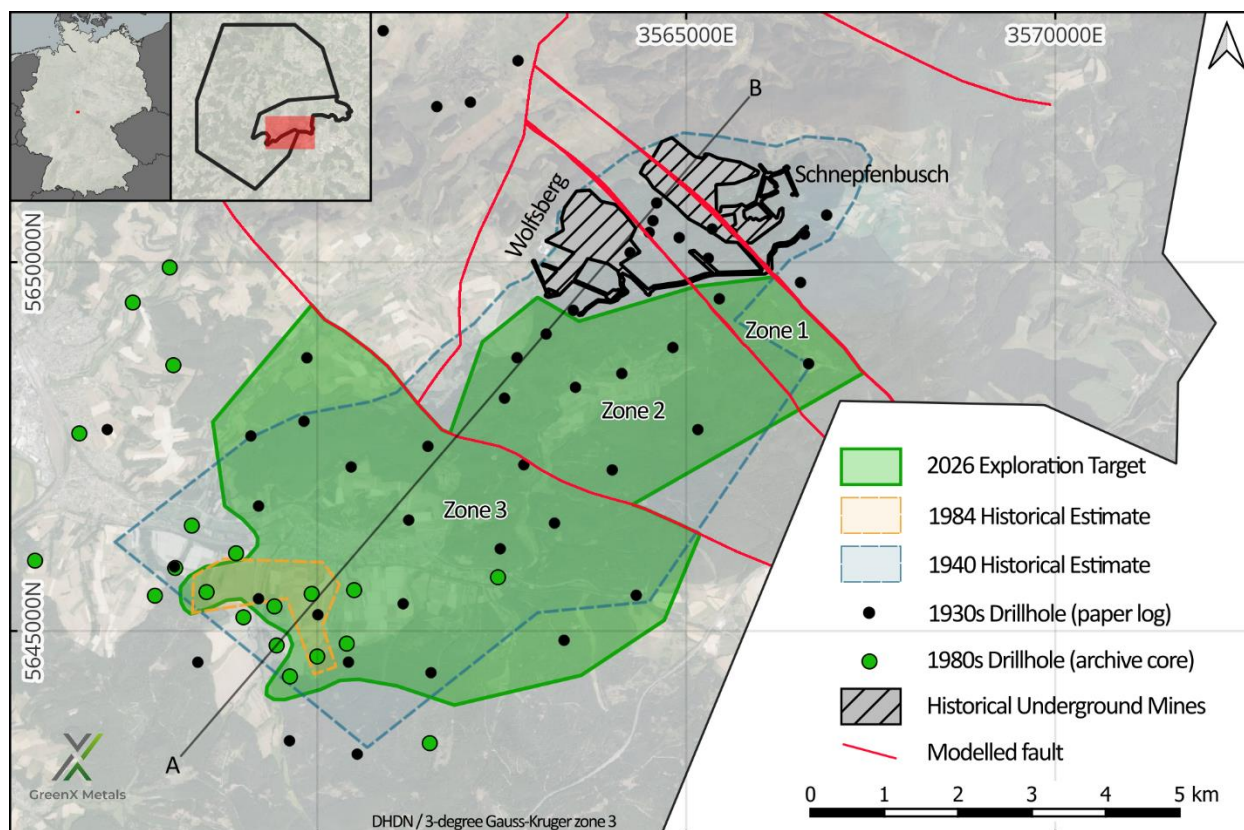
GreenX Metals Limited (ASX:GRX, LSE:GRX, GPW:GRX, Niemcy-FSE:A3C9JR) (**GreenX** lub **Spółka**) ma przyjemność ogłosić Cel Eksploracyjny w ramach Projektu Tannenberg Copper (**Tannenberg** lub **Projekt**) w Niemczech. Szacowany przedział potencjalnej mineralizacji w ramach Celu Eksploracyjnego wynosi: **144-279 mln ton przy zawartości 0,9%-1,4% Cu i 15-21 g/t Ag, tj. 1,3-3,9 mln ton miedzi oraz 69-188 mln uncji srebra.**

Ostrzeżenie: Cel Eksploracyjny został ogłoszony zgodnie ze standardami Kodeksu JORC z 2012 roku (**Kodeks JORC**). Potencjalna ilość i zawartość minerału w Celu Eksploracyjnym ma charakter koncepcyjny. Dotychczasowe prace eksploracyjne są niewystarczające do oszacowania zasobów przemysłowych dla raportowanych obszarów eksploracji. Nie ma pewności, czy dalsze prace eksploracyjne doprowadzą do wykazania zasobów przemysłowych.

Tabela 1: Cel Eksploracyjny w Projekcie Tannenberg

Prospekt	Tony przedział	Przedział zawartości Cu	Przedział zawartości Ag	Przedział masy Cu	Przedział masy Ag
Strefa 1	8 - 16 mln t	0,9 - 1,4% Cu	15 - 21 g/t Ag	0,1 - 0,2 mln t Cu	3,9 - 10,8 mln uncji Ag
Strefa 2	40 - 78 mln t			0,4 - 1,1 mln t Cu	19,3 - 52,7 mln uncji Ag
Strefa 3	96 - 186 mln t			0,9 - 2,6 mln t Cu	46,3 - 125,6 mln uncji Ag
<b>Razem</b>	<b>144 - 279 mln t</b>			<b>1,3 - 3,9 mln t Cu</b>	<b>69,4 - 188,4 mln uncji Ag</b>

**CEO GreenX Ben Stoikovich skomentował:** „Dzisiejsze ogłoszenie Celu Eksploracyjnego dla projektu Tannenberg, to wynik 18 miesięcy przeszukiwania archiwalnych dokumentacji oraz dokonania ich syntezy. Jest to punkt zwrotny, w którym przechodzimy od analizy danych archiwalnych do intensyfikacji naszych własnych programów rozpoznawczych. Współczesne rozumienie systemu Kupferschiefer, czego przykładem jest skala obecnej działalności wydobywczej w Polsce, wskazuje, że ekonomicznie opłacalna mineralizacja miedziowa rozciąga się daleko poza wąski horyzont łupków, na którym skupiały się niemieckie historyczne prace rozpoznawcze. Skala potencjalnych zasobów miedzi w Tannenberg w Hesji w Niemczech, w tej samej formacji geologicznej co światowej klasy polskie złoża, w pełni uzasadnia dalsze inwestycje i prace eksploracyjne.”



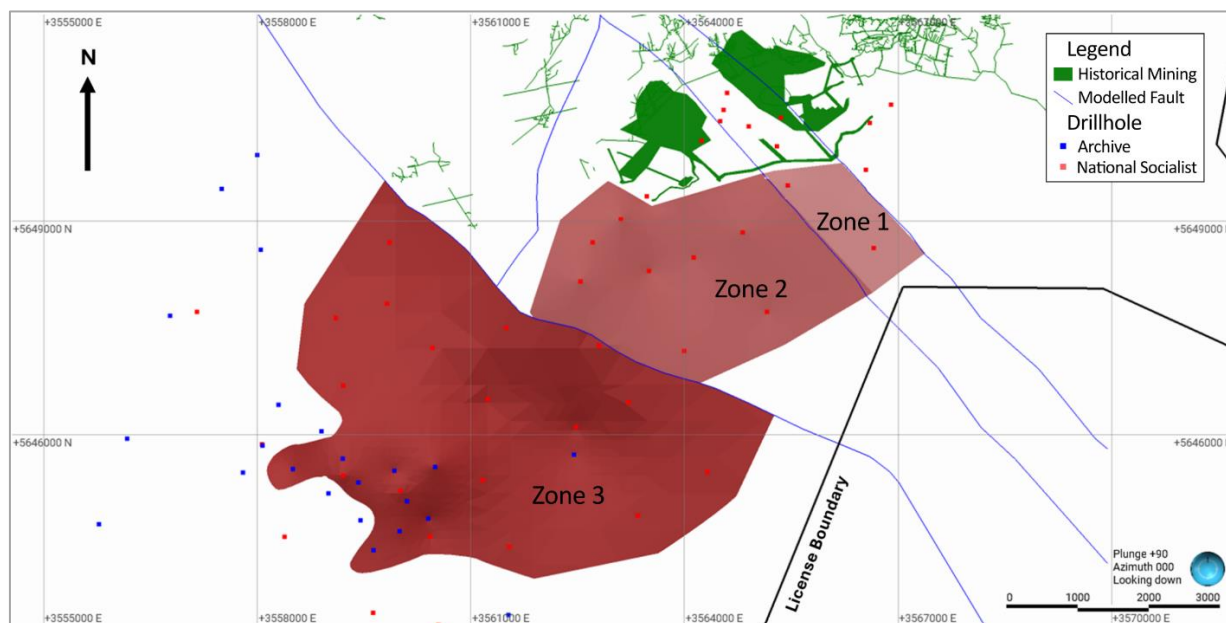
**Rys. 1:** Obszar Celu Eksploracyjnego i jego położenie względem obszarów wcześniejszych historycznych raportów oraz historycznej działalności górniczej w Tannenberg. Przekrój A-B pokazuje Rys. 4.

## CEL EKSPLORACYJNY

Cel Eksploracyjny prezentuje współczesne spojrzenie na potencjał miedzionośny w Tannenberg. W przeciwieństwie do Historycznego Raportu z 1940 roku, który oceniał jedynie cienki horyzont łupku miedzionośnego Kupferschiefer (zob. komunikat z 20 października 2025 r.), Cel Eksploracyjny obejmuje mineralizację zawartą w stropie powyżej oraz w spągu poniżej łupku. Jest to zgodne ze współczesnym rozumieniem złóż typu Kupferschiefer, czego dowodem jest działalność wydobywcza KGHM Polska Miedź S.A. (**KGHM**) w Polsce. Dalsze rozdziały przedstawiają fundamenty historyczne, nowoczesny model miąższości, a także prace pomocnicze, na których bazuje Cel Eksploracyjny.

Ostrzeżenie: Cel Eksploracyjny został ogłoszony zgodnie z Kodeksem JORC. Potencjalna ilość i zawartość minerału w Celu Eksploracyjnym ma charakter koncepcyjny. Dotychczasowe prace eksploracyjne są niewystarczające do oszacowania zasobów przemysłowych dla

raportowanych obszarów eksploracji. Nie ma pewności, czy dalsze prace eksploracyjne doprowadzą do wykazania zasobów przemysłowych.



**Rys. 2:** Widok z góry na model szkieletowy Celu Eksploracyjnego w Tannenberg

## OD HISTORYCZNEGO OKRĘGU GÓRNICZEGO DO CELU EKSPLORACYJNEGO

Projekt Tannenberg ma długą i udokumentowaną historię wierceń, robót górniczych oraz prac szacunkowych, które pozwalają na dobre zdefiniowanie mineralizacji miedziowo-srebrowej potwierdzonej badaniami historycznymi i stanowią podstawę obecnego Celu Eksploracyjnego.

W latach 1935–1938 rząd narodowosocjalistyczny zrealizował kampanię wiertniczą obejmującą 95 otworów w Okręgu Górniczym Richelsdorf. Ten zbiór danych stał się geologiczną podstawą do budowy trzech kopalni miedzi eksploatujących złoża Kupferschiefer w granicach obszaru koncesyjnego Tannenberg: Reichenberg, Wolfsberg i Schnepfenbusch. Kopalnie te funkcjonowały od końca lat 30. XX wieku, a w niektórych przypadkach aż do połowy lat 50. XX wieku. GreenX zdigitalizował i włączył tę bazę danych otworów wiertniczych do swoich modeli geologicznych (zob. komunikat z 11 września 2025 roku).

Historyczny raport z 1940 r. sporządzony przez Mansfeldsche Kupferschieferbergbau AG (**Mansfeld AG**) i oparty na przestrzennie powiązonym podzbiórze 18 otworów z bazy 95 otworów, wykazał 728 000 ton masy miedzi przy średniej zawartości 2,6% miedzi (tylko w wąskim horyzoncie łupka Kupferschiefer) pomiędzy kopalniami Wolfsberg i Schnepfenbusch na północy, a obszarem Ronshausen na południu (zobacz Rys. 1). Historyczny bilans obejmuje mineralizację od głębokości 100 m na północy do 400 m na południowym krańcu w okolicy Ronshausen (zob. komunikat z 20 października 2025 r.).

Późniejszy historyczny bilans z 1984 roku został sporządzony przez St Joe Explorations GmbH (**St Joe**) na podstawie ograniczonych wierceń przeprowadzonych w latach 1980–1984 (zob. komunikaty z 2 sierpnia 2024 r. i 28 kwietnia 2025 r.). W ramach historycznych prac St Joe uzyskała szacunek (20 października 2025 r.) 169 000 ton masy miedzi oraz 6,5 mln uncji masy srebra w obrębie niewielkiego fragmentu strefy 3. Firma St Joe przeprowadziła analizę chemiczną szerszych interwałów i stwierdziła, że miąższość mineralizacji wynosi do 3,45 m. Jest to znacznie szerszy przedział niż miąższość wąskiego horyzontu łupka miedzionośnego,

który był przedmiotem analiz i oszacowań Mansfeld AG w 1940 r. St Joe dostarczyło pierwszych współczesnych przesłanek wskazujących, że mineralizacja o znaczeniu ekonomicznym wykracza poza sam łupek Kupferschiefer.

Ostrzeżenie dotyczące historycznych bilansów zasobów: Historyczne bilanse, do których odnosi się niniejszy komunikat, nie zostały sporządzone zgodnie z Kodeksem JORC. Osoba kompetentna nie wykonała wystarczającej pracy, aby zaklasyfikować historyczne bilanse złóż jako zasób lub jako rezerwę złoża zgodnie z Kodeksem JORC. Nie ma pewności, czy po przeprowadzeniu weryfikacji lub dalszych prac rozpoznawczych historyczne raporty będą mogły zostać zaraportowane jako zasoby lub rezerwy złoża zgodnie z Kodeksem JORC.

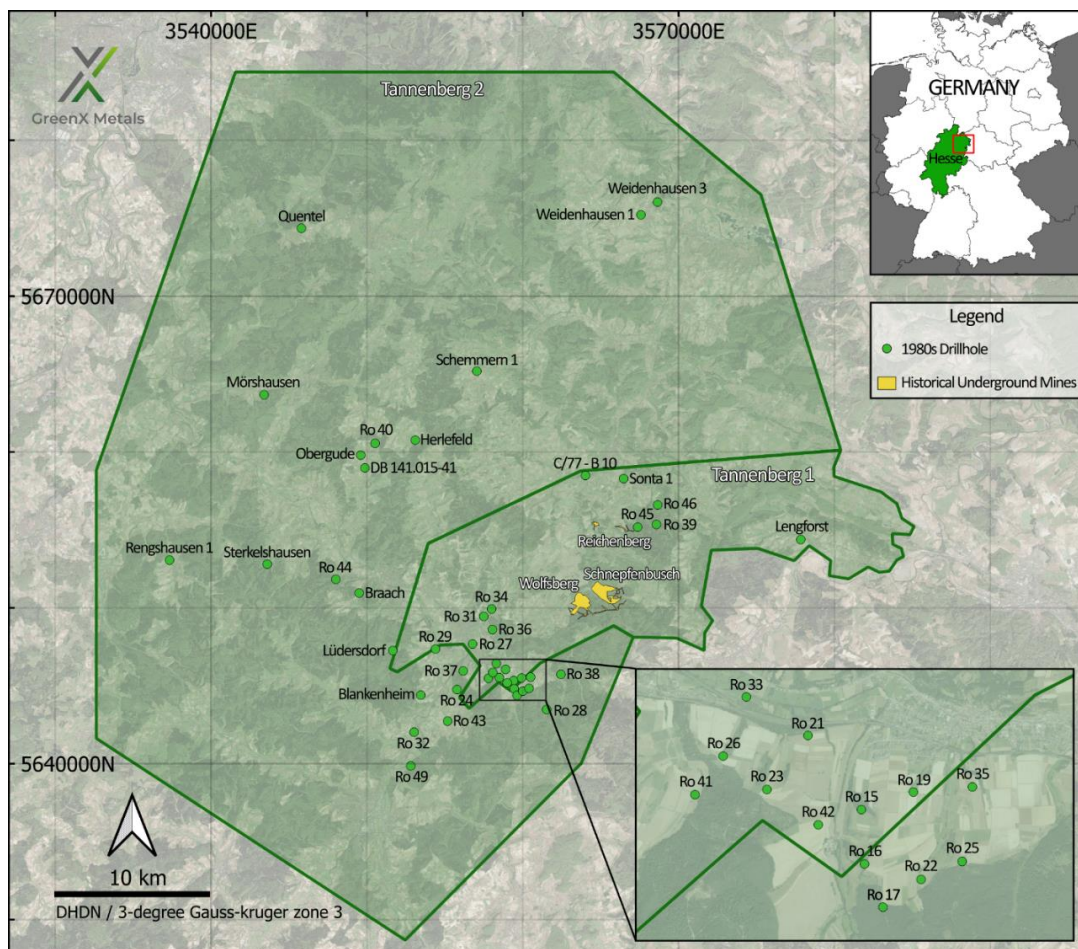
## **WSPÓŁCZESNY MODEL MIĄŻSZOŚCI**

Współczesne rozumienie modelu złoża typu Kupferschiefer, czego dowodzi działalność wydobywcza KGHM w Polsce w takim samym otoczeniu geologicznym jak Tannenberg, wskazuje, że nawet do 95% miedzi o potencjale wydobywczym może zalegać w piaskowcu spągowym i wapieniu stropowym, przy czym mineralizacja często występuje do 30 m powyżej i 60 m poniżej horyzontu łupku miedzionośnego Kupferschiefer.

Zastosowanie koncepcji dużej miąższości mineralizacji do historycznie zdefiniowanego obszaru Tannenberg pozwala statystycznie wyznaczyć miąższość mineralizacji na 1,7-3,3 m, w porównaniu do miąższości 20-60 cm (obejmującej wyłącznie łupek) przyjętej w historycznym raporcie z 1940 roku. Miąższość 1,7-3,3 m jest zgodna z szerszymi interwałami potwierdzonymi przez St Joe w latach 80. XX wieku i została obecnie niezależnie zweryfikowana przez GreenX poprzez ponowne pobranie próbek z dostępnych rdzeni archiwalnych.

## **ZAKOŃCZENIE PROGRAMU PROFILOWANIA I OPRÓBOWANIA RDZENI ARCHIWALNYCH**

Po ponownym sprofilowaniu łącznie 4 389 m rdzenia archiwalnego i pobraniu 2 368 nowych próbek, GreenX zakończył prace nad rdzeniami archiwalnymi Program ten został uruchomiony po odkryciu, że rdzenie wiertnicze były przechowywane w archiwach Heskiego Urzędu ds. Ochrony Przyrody, Środowiska i Geologii (**HLNUG**) przez ponad 40 lat od momentu wykonania wierceń. Powtórne profilowanie i pobranie nowych próbek przeprowadzono zgodnie z Kodeksem JORC, co pozwoliło na oszacowanie przedziałów Celu Eksploracyjnego. Oprócz weryfikacji historycznych zawartości miedzi i srebra w okolicy historycznych obszarów górniczych (zob. komunikat z 20 listopada 2025 r.), uzyskane dane wykazały, że mineralizacja miedziowo-srebrowa utrzymuje się na przestrzeni wielu kilometrów od historycznych kopalń miedzi (Wolfsberg, Schnepfenbusch i Reichenberg).



**Rys. 3:** Mapa lokalizacyjna archiwalnych otworów wiertniczych z lat 80. XX wieku, niedawno sprofilowanych i przeanalizowanych przez GreenX.

## PROGRAMY PRZYSZŁYCH I REALIZOWANYCH PRAC

GreenX realizuje skoordynowany pakiet działań eksploracyjnych, które potwierdzą zasobność Celu Eksploracyjnego zidentyfikowanego w Tannenberg, obejmujący:

- Analizy mineralogiczne oraz analizy metalurgiczne materiału pobranego z rdzeni archiwalnych – II kw. 2026 r.;
- Wejście do historycznych kopalń podziemnych w celu wykonania testów metalurgicznych na poziomie Wstępnego Studium Wykonalności (*Scoping Study*), pobrania próbek odłamków, a także kartowania i pomiarów geodezyjnych na potrzeby modelowania 3D – II poł. 2026 r.;
- Zestawianie i digitalizacja historycznych danych geologicznych oraz danych dotyczących rozwoju kopalni i produkcji – w toku;
- Analizę możliwości wykorzystania badań sejsmicznych w celu wsparcia przyszłych kampanii wiertniczych, w tym pobieranie pomiarów petrofizycznych do bezpośredniego modelowania sejsmicznego – II kw. 2026 r.;
- Badania sejsmiczne, jeśli będą uzasadnione – rozpoczęcie w II poł. 2026 r.; oraz
- Pierwszy programu wierceń – rozpoczęcie pod koniec 2026 r.

## **CEL EKSPLOACYJNY: AUDYT I WERYFIKACJA BAZY DANYCH OTWORÓW WIERTNICZYCH**

GreenX sprofilowała, pobrała próbki i przeprowadziła analizę chemiczną dostępnych archiwalnych rdzeni z Tannenberg (**Archiwum**). Prace zostały wykonane przez firmę Palsatech w specjalistycznym ośrodku profilowania rdzeni w Szwecji. Niezależna Osoba Kompetentna z MSA Mining Consulting UK Ltd (MSA-UK) odwiedziła ośrodek w trakcie przetwarzania archiwalnych rdzeni. Wszystkie przecięcia stref mineralizacji z istotną mineralizacją Cu-Ag zostały pozyskane przez St Joe podczas wierceń eksploracyjnych w latach 80. XX wieku.

Baza danych otworów wiertniczych z lat 30. XX wieku (z okresu rządów narodo-socjalistycznego) została skompilowana przez geologów GreenX poprzez transkrypcję papierowych zapisów historycznych. MSA-UK nie przeprowadziła niezależnego audytu i weryfikacji tych danych z zapisami źródłowymi. Ponieważ intencją jest wskazanie Celu Eksploracyjnego, MSA-UK nie uznaje tego ryzyka za istotne.

Weryfikacja danych została przeprowadzona podczas procedury importu i polegała na korekcie błędów typu „od/do” oraz przygotowaniu danych w formacie pozwalającym na ich bezpośredni import do oprogramowania do modelowania trójwymiarowego.

## **CEL EKSPLOACYJNY: MODELOWANIE GEOLOGICZNE**

Model geologiczny został sporządzony w programie Leapfrog Geo. Choć obszar ten przecina szereg skartowanych uskoków, w modelu uwzględniono jedynie pięć istotnych struktur uskokowych (Rys. 1). Zmodelowano cztery jednostki stratygraficzne, mianowicie: podłoże, Rotliegend, Cechsztyń oraz Buntsandstein. Ze względu na niewielką miąższość warstwy łupku miedzionośnego Kupferschiefer oraz poziomą skalę modelu, która obejmuje kilka kilometrów, łupek miedzionośny został zmodelowany wyłącznie jako kontakt geometryczny pomiędzy Rotliegend i Cechsztyńem. Przemieszczenia tektoniczne na uskokach są generowane bezpośrednio na podstawie danych, gdzie wzajemne położenie jednostek stratygraficznych po obu stronach uskoku determinuje wielkość zrzutu pionowego (Rys. 4).

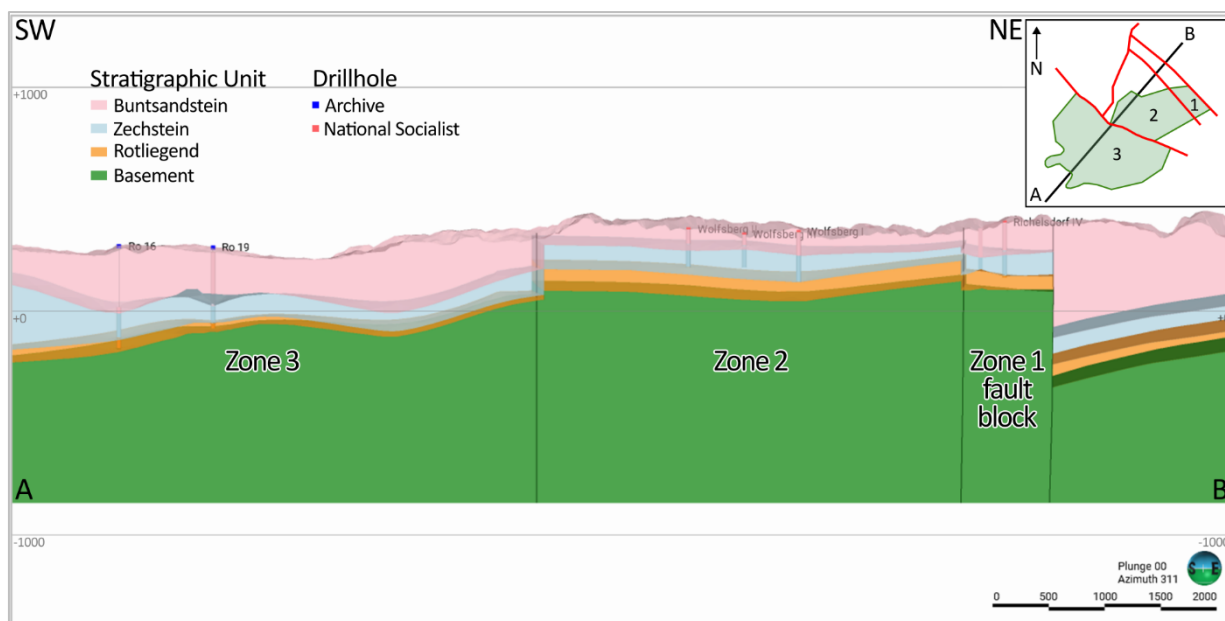
Koncepcyjny model mineralizacji został zbudowany na podstawie danych z otworów wiertniczych przy zastosowaniu wartości progowej 0,30% Cu. Wartość ta została ustalona na podstawie wykresu prawdopodobieństwa logarytmicznego dla połączonego zestawu danych (Rys. 5), który wskazuje na załamanie populacji zawartości metalu wokół tego progu. Jest to wartość uzasadniona, ponieważ ujmuje ona mineralizację występującą w spągowym Rotliegend, łupku Kupferschiefer oraz w stropowym Cechsztyńie.

Oprócz progowej zawartości miedzi, w procesie modelowania zastosowano kryterium minimalnej miąższości na poziomie 1,5 m, co wynikało z przepisów oraz z praktyki stosowanej w kopalniach miedzi w Polsce. Tam, gdzie było to konieczne, próbki ubogie (o zawartości poniżej progu) były włączane do strefy mineralizacji w celu osiągnięcia wymaganej minimalnej miąższości, pod warunkiem, że średnia zawartość dla całego skomponowanego interwału (kompozytu) spełniała kryterium wartości progowej. Ze względu na błąd systematyczny próbek w zbiorze danych z lat 30. XX wieku (z okresu rządów narodo-socjalistycznych), do określenia miąższości w modelu mineralizacji wykorzystano wyłącznie dane z wierceń z lat 80. XX wieku.

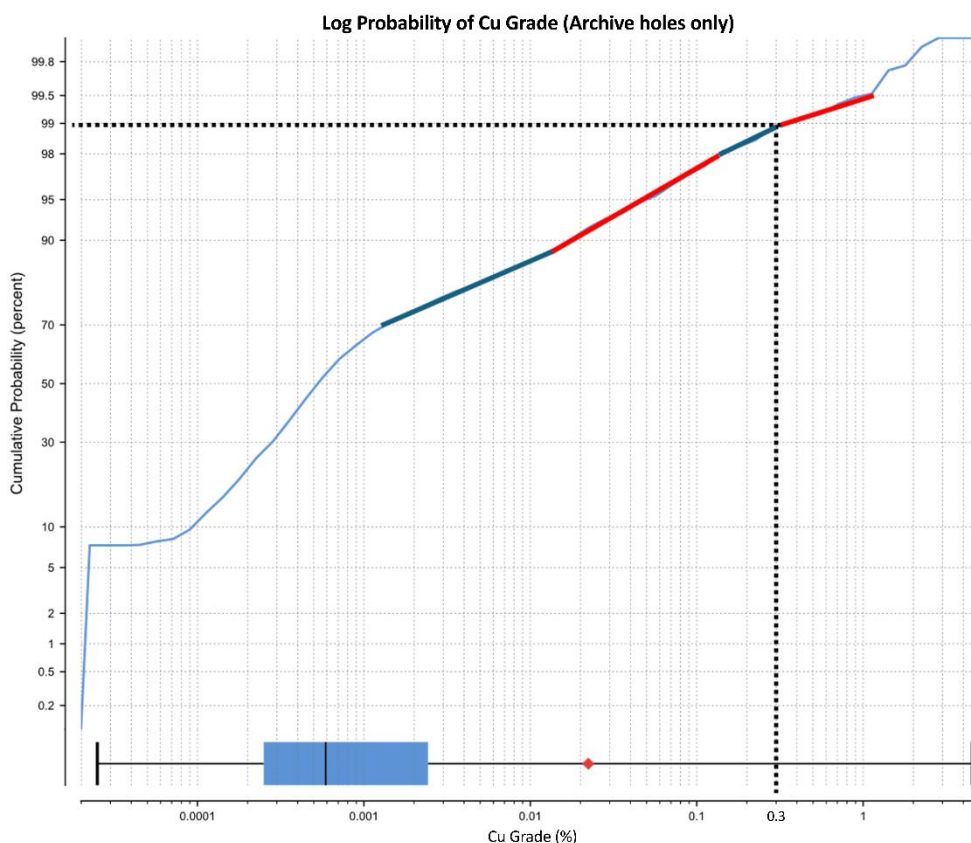
Dane z lat 30. wykorzystano jednak do wnioskowania o poziomej ciągłości mineralizacji. Aby uniknąć zawyżenia tonażu rudy, model mineralizacji został przycięty do modelowanych uskoków, ekstrapolowany do maksymalnie 500 m poza dostępne dane, oraz ograniczony linią granicy koncesji Tannenberg. Ponadto z modelu mineralizacji wyłączono obszary historycznie wyeksploatowane.

Rozpatrzono trzy obszary: większy sektor w części południowo-zachodniej – Strefę 3, gdzie model bazuje na połączeniu danych Archiwalnych oraz danych z lat 30. XX wieku, a także dwa mniejsze sektory wydzielone uskokami w kierunku północno-wschodnim – Strefę 1 i Strefę 2 przedstawione na Rys. 1 i 2.

Strefa 3 ma wymiary wynoszące w przybliżeniu 6 km na 3,5 km. Miąższość mineralizacja maleje w kierunku południowo-zachodnim i północno-zachodnim, gdzie otwory wiertnicze ujmują zazwyczaj ubogie przecięcia stref mineralizacji miedzi, które nie spełniają kryterium minimalnej miąższości i w efekcie zostały wyłączone z modelu. W kierunku północno-wschodnim mineralizacja ucięta jest uskokiem o przebiegu północny zachód – południowy wschód. Strefa 2 znajduje się w sąsiedztwie Strefy 3, po północno-wschodniej stronie tego uskoku granicznego, a jej wymiary wynoszą 3,1 km w kierunku północny zachód - południowy wschód, oraz 2,8 km w kierunku północno-wschodnim. Strefa 1 jest wąska, ograniczona dwoma równoległymi uskokiemi i zajmuje obszar o wymiarach 1,8 km na 900 m. Zasięg zarówno Strefy 1, jak i Strefy 2 został od północy ograniczony znanymi obszarami wyeksploatowanymi.



**Rys. 4:** Przekrój pseudo-3D przez modelowane jednostki stratygraficzne oraz szacowane strefy Celu Eksploracyjnego. Profil (A-B) przedstawiono również na Rys. 1. Zmodyfikowano na podstawie opracowania MSA-UK.



**Rys. 5:** Wykres prawdopodobieństwa logarytmicznego zawartości miedzi z bazy danych Archiwum. Zmodyfikowano na podstawie opracowania MSA-UK.

## CEL EKSPLORACYJNY: SZACOWANIE ZAWARTOŚCI I MIĄŻSZOŚCI

Zgodnie z wymogami dotyczącymi deklarowania Celu Eksploracyjnego, zawartość i tonaż muszą być wyrażone jako przedziały. Poziomy zasięg stref zmineralizowanych jest ograniczony przez struktury tektoniczne oraz granicę koncesji, co zostawia niewiele miejsca na ekstrapolację. W związku z tym przedziały tonażu określono przy założeniu zmiennej miąższości stref zmineralizowanych, co potwierdza posiadany zestaw danych. Do wyznaczenia przedziałów zawartości i miąższości wykorzystano wyłącznie dane Archiwalne, ponieważ zapewniają one pełny profil pionowy przez strefę mineralizacji. Próbkę znajdującą się w obszarze mineralizacji w Strefie 3 zostały wybrane i złożone w kompozyt do pełnej miąższości, w wyniku czego uzyskano dziesięć próbek kompozytowych. Kompozyty o pełnej miąższości zostały użyte do wyznaczenia przedziałów zawartości oraz przedziałów miąższości Celu Eksploracyjnego, ponieważ podejście to minimalizuje zmienność mniejszych interwałów próbkowania. Ogranicza to błąd systematyczny opróbowania i pozwala uniknąć sztucznie zawyżonych wartości przy określaniu przedziałów zawartości. W celu uzupełnienia danych wykorzystano również dodatkowy otwór wiertniczy, Ro 45, zlokalizowany na północ poza obszarem zainteresowania. Otwór ten został uwzględniony, ponieważ jako jedyny otwór archiwalny poza obszarem modelowania spełnia kryteria minimalne; z uwagi na ograniczoną liczbę dostępnych punktów danych otwór włączono do modelu w celu wsparcia analizy statystycznej. Pozostałe otwory archiwalne nie były uwzględniane, ponieważ znajdują się poza modelowanym zasięgiem mineralizacji.

Lista otworów wiertniczych, zawartości miedzi i srebra oraz zawartości skumulowane przedstawiono w Tabeli 2.

Tabela 2: Lista próbek kompozytowych o pełnej miąższości do szacowania zawartości i miąższości							
ID otworu	Od	Do	Miąższość (m)	Cu (%)	Ag (g/t)	Skumulowana zawartość miedzi Cu % na metr	Skumulowana zawartość srebra Ag g/t na metr
Ro 15	285,6	289,3	3,7	1,19	16,6	4,41	61,5
Ro 17	481,2 5	483	1,75	0,89	18,2	1,56	31,9
Ro 18	209	210,76	1,76	3,00	28,7	5,28	50,6
Ro 19	339	342	3	1,38	16,2	4,13	48,5
Ro 20	377	378,68	1,68	1,33	14,6	2,24	24,5
Ro 22	435,7 6	439,4	3,64	0,94	16,0	3,43	58,1
Ro 23	366	367,5	1,5	2,69	55,3	4,04	83,0
Ro 25	533,3 8	534,89	1,51	1,32	27,9	2,00	42,2
Ro 35	379,1 5	381	1,85	0,35	10,5	0,65	19,5
Ro 38	536,2 5	539,5	3,25	0,56	11,4	1,83	37,2
Ro 45	268,3 4	270,37	2,03	1,62	20,5	3,29	41,7

Źródło: MSA-UK

Parametry statystyczne wyliczono dla ważonych długością zawartości miedzi i srebra oraz dla długości próbek kompozytowych, jak przedstawiono w Tabeli 3.

Tabela 3: Podsumowanie parametrów statystycznych zmineralizowanych kompozytów z otworów wiertniczych							
Zmienna	Minimum	Maksimum	Średni a	Median a	Kwartył dolny	Kwartył górny	Współczynnik zmienności
Miąższość (m)	1,50	3,70	2,33	3,00	<b>1,68</b>	<b>3,25</b>	0,37
Zawartość Cu (%)	0,35	3,00	1,28	1,19	<b>0,89</b>	<b>1,38</b>	0,63
Zawartość Ag (g/t)	10,5	55,3	19,4	16,2	<b>14,6</b>	<b>20,5</b>	0,65

Źródło: MSA-UK

Podjęto próbę wyznaczenia Przedziałów zawartości i miąższości przy użyciu metody dwustronnego przedziału ufności dla tego zestawu danych. Jednakże to podejście statystyczne dało bardzo wąskie przedziały, które nie odzwierciedlają naturalnej zmienności mineralizacji. W związku z tym, do zdefiniowania dolnych i górnych przedziałów zawartości oraz miąższości, użyto rozstępu międzykwartylowego (**IQR**). W tym przypadku IQR uznaje się za odpowiedni dla tak małego zbioru danych, ponieważ jest to miara rozproszenia wokół mediany, która ogranicza wpływ wartości odstających zarówno dla zawartości, jak i miąższości. Uzyskane w ten sposób przedziały są bardziej realistycznym odzwierciedleniem zbioru danych (Tabela 4).

Tabela 4: Dolne i górne przedziały zawartości i miąższości dla Celu Eksploracyjnego		
Zmienna	Przedział dolny	Przedział górny
Miąższość (m)	1,7	3,3
Cu (%)	0,9	1,4

Au (g/t)	15	21
----------	----	----

Źródło: MSA-UK

Uwaga: Przedziały zawartości i miąższości zaokrąglone do jednego miejsca po przecinku, co odzwierciedla szacunkowy charakter tych danych.

W projekcie nie są obecnie dostępne dane dotyczące gęstości, dlatego średnie wartości gęstości pozyskano z dostępnej literatury (Taylor, R.D. i Anderson, E.D., 2010). Przyjęto założenie o trzymetrowej miąższości z potencjałem wydobywczym, w której łupek Kupferschiefer stanowi 0,40 m całkowitej miąższości, podczas gdy dla utworów Cechsztyń i Rotliegend założono miąższości po 1,30 m. Średnie wartości gęstości przypisano w sposób przedstawiony w Tabeli 5.

<b>Tabela 5: Zakładane średnie gęstości poszczególnych jednostek stratygraficznych</b>			
<b>Jednostka stratygraficzna</b>	<b>Rodzaj skały</b>	<b>Miąższość (m)</b>	<b>Gęstość (t/m<sup>3</sup>)</b>
Cechsztyń	Wapień	1,30	2,75
Kupferschiefer	Łupek	0,40	2,40
Rotliegend	Piaskowiec	1,30	2,55

Źródło: Taylor, R.D i Anderson, E.D., 2010

Średnia ważona względna gęstość dla trzymetrowej strefy mineralizacji została wyliczona na 2,62 t/m<sup>3</sup>.

## CEL EKSPLOACYJNY: OSZACOWANIE

Zgodnie z Kodeksem JORC, Cel Eksploracyjny zdefiniowany jest jako „stwierdzenie lub oszacowanie potencjału poszukiwawczego złoża mineralnego w określonym otoczeniu geologicznym, gdzie to stwierdzenie lub oszacowanie, podane jako przedział tonażu oraz przedział zawartości (lub jakości), odnosi się do mineralizacji, dla której dotychczasowe prace poszukiwawcze nie są wystarczające do oszacowania Zasobów Mineralnych”. Kodeks jednoznacznie stwierdza, że w tym kontekście nie można stosować pojęć „Zasoby” oraz „Rezerwy” do opisu potencjalnej ilości i zawartości minerału w obszarze celu.

Wariant bazowy mineralizacji wynika z zasięgu powierzchniowego mineralizacji miedzi powyżej wartości progowej 0,30% Cu, która spełnia kryterium minimalnej miąższości wynoszącej 1,50 m. Powierzchnie stworzone w programie Leapfrog Geo zostały użyte do modelowania ciągłości poziomej stref zmineralizowanych oraz do wyznaczenia powierzchni trzech stref. Przedziały miąższości zostały wyznaczone na podstawie danych Archiwalnych, a dolne i górne przedziały tonażu wyliczono przy zastosowaniu założonej średniej gęstości 2,62 t/m<sup>3</sup>, w sposób przedstawiony w Tabeli 6.

<b>Tabela 6: Przedziały tonażu dla każdej strefy</b>						
<b>Strefa</b>	<b>Powierzchnia (m<sup>2</sup>)</b>	<b>Miąższość (m)</b>		<b>Gęstość (t/m<sup>3</sup>)</b>	<b>Tonaż (mln t)</b>	
		<b>Przedział dolny</b>	<b>Przedział górny</b>		<b>Przedział dolny</b>	<b>Przedział górny</b>
Strefa 1	1 800 000	1,7	3,3	2,62	8	16
Strefa 2	9 000 000				40	78
Strefa 3	21 500 000				96	186
<b>Razem</b>	<b>43 000 000</b>				<b>144</b>	<b>279</b>

Źródło: MSA-UK.

Uwaga: m<sup>2</sup> = metry kwadratowe; m = metry; t/m<sup>3</sup> = tony na metr sześcienny; mln t = milion ton

Powierzchnia została zaokrąglona do najbliższych 100 000 m<sup>2</sup>, co oddaje szacunkowy charakter tych danych.

Tonaż został zaokrąglony do najbliższego 1 000 000 ton, co oddaje szacunkowy charakter tych danych.

Przedziały zawartości i miąższości zaokrąglono do jednego miejsca po przecinku, co oddaje szacunkowy charakter tych danych.

Dane o zawartości w próbkach kompozytowych obejmujących pełną miąższość zostały użyte do wyznaczenia przedziałów zawartości miedzi, natomiast oszacowane przedziały masy miedzi przedstawiono w Tabeli 7.

Tabela 7: Przedziały zawartości miedzi oraz masy metalu dla każdej ze stref						
Strefa	Tonaż (mln t)		Zawartość Cu (%)		Masa Cu (mln t)	
	Przedział dolny	Przedział górny	Przedział dolny	Przedział górny	Przedział dolny	Przedział górny
Strefa 1	8	16	0,9	1,4	0,1	0,2
Strefa 2	40	78			0,4	1,1
Strefa 3	96	186			0,9	2,6
<b>Razem</b>	<b>144</b>	<b>279</b>			<b>1,3</b>	<b>3,9</b>

Źródło: MSA-UK

Uwaga: mln t = miliony ton.

Tonaż został zaokrąglony do najbliższego 1 000 000 ton, co oddaje szacunkowy charakter tych danych

Przedziały zawartości i miąższości zaokrąglono do jednego miejsca po przecinku, co oddaje szacunkowy charakter tych danych

Podobnie też przedziały zawartości srebra posłużyły do określenia dolnych i górnych scenariuszy dla masy srebra dla każdej strefy, co przedstawiono w Tabeli 8.

Tabela 8: Przedziały zawartości srebra oraz masy metalu dla każdej ze stref						
Strefa	Tonaż (mln t)		Zawartość Ag (g/t)		Masa srebra (mln uncji)	
	Przedział dolny	Przedział górny	Przedział dolny	Przedział górny	Przedział dolny	Przedział górny
Strefa 1	8	16	15	21	3,9	10,8
Strefa 2	40	78			19,3	52,7
Strefa 3	96	186			46,3	125,6
<b>Razem</b>	<b>144</b>	<b>279</b>			<b>69,4</b>	<b>188,4</b>

Źródło: MSA-UK

Uwaga: mln t = milion ton; mln uncji = milion uncji trojańskich; g/t = gram na tonę.

Tonaż został zaokrąglony do najbliższego 1 000 000 ton, co oddaje szacunkowy charakter tych danych

Uncje zostały zaokrąglone do najbliższych 100 000 uncji trojańskich, co oddaje szacunkowy charakter tych danych

Przedziały zawartości i miąższości zaokrąglono do jednego miejsca po przecinku, co oddaje szacunkowy charakter tych danych

1 uncja trojańska (oz) = 31,1034768 grama

Cel Eksploracyjny dla połączonej mineralizacji Tannenberg przedstawiono w Tabeli 9. Zgodnie z Kodeksem JORC należy wyraźnie zaznaczyć, że potencjalna ilość i zawartość minerału w Celach Eksploracyjnych ma charakter koncepcyjny; dotychczasowe prace eksploracyjne nie są wystarczające do oszacowania Zasobów Mineralnych i nie ma pewności, czy dalsze prace eksploracyjne doprowadzą do oszacowania Zasobów Mineralnych.

Tabela 9: Zbiorczy Cel Eksploracyjny dla Projektu Tannenberg									
Tonaż (mln t)		Cu (%)		Ag (g/t)		Masa Cu (mln t)		Masa srebra (mln uncji)	
Przedział dolny	Przedział górny	Przedział dolny	Przedział górny	Przedział dolny	Przedział górny	Przedział dolny	Przedział górny	Przedział dolny	Przedział górny
144	279	0,9	1,4	15	21	1,3	3,9	69,4	188,4

Źródło: MSA-UK.

Uwaga: mln t = milion ton; mln uncji = milion uncji trojańskich; g/t = gram na tonę;  
Tonaż został zaokrąglony do najbliższego 1 000 000 ton, co oddaje szacunkowy charakter tych danych

Masa miedzi i srebra w uncjach zostały zaokrąglone do najbliższych 100.000 uncji trojańskich, co oddaje szacunkowy charakter tych danych

Przedziały zawartości i miąższości zaokrąglono do jednego miejsca po przecinku, co oddaje szacunkowy charakter tych danych

1 uncja trojańska (oz) = 31,1034768 grama

## MOTYWACYJNE PAPIERY WARTOŚCIOWE

Aby zmotywować kierownictwo Spółki i zapewnić zbieżności jego interesów z interesami akcjonariuszy, Spółka wyemituje opcje na akcje w ramach programu motywacyjnego. Kierownictwo nabędzie prawa do tych opcji tylko i wyłącznie w przypadku osiągnięcia następującego kamienia milowego w projekcie Tannenberg:

- Klasa C: publiczne ogłoszenie przez GreenX niezależnie oszacowanych zasobów domniemanych w rozumieniu Kodeksu JORC, wynoszących co najmniej 1 500 000 ton ekwiwalentu masy miedzi, przy minimalnej średniej zawartości w zasobach na poziomie 1% ekwiwalentu Cu (lub wartości równoważnej, przy granicznej zawartości minimalnej 0,3% ekwiwalentu Cu).

Posiadacz	Klasa C Opcje o wartości 1,50 AUD wygasające 31 maja 2031 r.
Benjamin Stoikovich (pod warunkiem uzyskania zgody akcjonariuszy)	1 500 000
Mark Pearce (pod warunkiem uzyskania zgody akcjonariuszy)	600 000
Pozostali kluczowi pracownicy i konsultanci (do wyemitowania w ramach programu motywacyjnego Spółki opartego na akcjach Spółki)	5 600 000

\*\*Ekwiwalent Cu oznacza dowolną kombinację Cu, Ag, Ni, Co, Cr, Pt, Pd, Au, Rh, Ru, Ir, Os, Zn i/lub Pb.

## ZAPYTANIA PROSIMY KIEROWAĆ DO:

**Ben Stoikovich**  
Dyrektor Generalny

+44 207 478 3900  
ir@greenxmetals.com

**Kazimierz Chojna**  
Relacje Inwestorskie – Polska

**Kim Eckhof**  
Relacje Inwestorskie – Wielka Brytania / Niemcy

## OŚWIADCZENIE OSÓB KOMPETENTNYCH – CEL EKSPLORACYJNY

Informacje zawarte w niniejszym komunikacie, odnoszące się do Celu Eksploracyjnego, zostały oparte na informacjach zebranych przez pana Rui Goncalvesa – Osobę Kompetentną zarejestrowaną przez Południowoafrykańską Radę Zawodów Nauk Przyrodniczych (South African Council of Natural Scientific Professions), Uznaną Organizacją Zawodową wpisaną na listę publikowaną od czasu do czasu przez giełdę ASX. Pan Goncalves jest etatowym pracownikiem niezależnej firmy doradczej MSA Mining Consulting UK Ltd. Pan Goncalves posiada wystarczające doświadczenie, odpowiednie do typu mineralizacji i rodzaju badanego złoża oraz podejmowanej działalności, a tym samym posiadającym kwalifikacje do uznania go za Osobę Kompetentną w rozumieniu definicji zawartej w „Australoazjatyckim kodeksie raportowania wyników prac poszukiwawczych, zasobów mineralnych i rezerw złoża” (Australasian Code for Reporting of Exploration Results, Mineral Resources and Ore Reserves) z 2012 r. Pan Goncalves wyraża zgodę na umieszczenie w niniejszym komunikacie informacji opartych na wynikach jego prac w formie i kontekście, w jakim się w nim pojawiły.

## OŚWIADCZENIE OSÓB KOMPETENTNYCH – HISTORYCZNY RAPORT

Informacje zawarte w niniejszym komunikacie dotyczące historycznych bilansów zasobów pochodzą z komunikatu ASX z dnia 20 października 2025 r., zatytułowanego „GreenX odkrywa historyczny bilans zasobów dla terenu objętego Projektem Tannenberg Copper” (**komunikat źródłowy**) dostępnego do wglądu na stronie [www.greenxmetals.com](http://www.greenxmetals.com). GreenX potwierdza, że: a) nie posiada żadnych nowych informacji lub danych dotyczących historycznego bilansu zasobów, które miałyby istotny wpływ na wiarygodność tych bilansów lub na zdolność GreenX do weryfikacji tych historycznych bilansów jako zasobów mineralnych lub rezerw złoża w rozumieniu Kodeksu JORC; b) wszystkie informacje dodatkowe zawarte w komunikacie źródłowym odnoszące się do art. 5.12 Regulaminu Notowań ASX dalej mają zastosowanie i istotnie się nie zmieniły; oraz c) forma i kontekst prezentacji ustaleń Osób Kompetentnych nie zmieniły się w istotny sposób względem treści komunikatu źródłowego.

## OŚWIADCZENIE OSÓB KOMPETENTNYCH - WYNIKI EKSPLORACJI

Informacje zawarte w niniejszym komunikacie odnoszące się do wyników badań zostały oparte na informacjach zebranych przez dra Matthewa Jacksona – Osobę Kompetentną będącą członkiem Australoazjatyckiego Instytutu Górnictwa i Metalurgii. Dr Jackson jest konsultantem technicznym GreenX i posiadaczem nienotowanych opcji w Spółce. Dr Jackson posiada wystarczające doświadczenie, odpowiednie do typu mineralizacji i rodzaju badanego złoża oraz podejmowanej działalności, a tym samym posiadającym kwalifikacje do uznania go za Osobę Kompetentną w rozumieniu definicji zawartej w „Australoazjatyckim kodeksie raportowania wyników prac poszukiwawczych, zasobów mineralnych i rezerw złoża” (Australasian Code for Reporting of Exploration Results, Mineral Resources and Ore Reserves) z 2012 r. Dr Jackson wyraża zgodę na umieszczenie w niniejszym komunikacie informacji opartych na wynikach jego prac w formie i kontekście, w jakim się w nim pojawiły.

## STWIERDZENIA DOTYCZĄCE PRZYSZŁOŚCI

Niniejszy komunikat prasowy może zawierać stwierdzenia dotyczące przyszłości, na których występowanie mogą wskazywać słowa takie jak „spodziewa się”, „przewiduje”, „uważa”, „projekty”, „plany” oraz podobne wyrażenia. Takie stwierdzenia dotyczące przyszłości są oparte na oczekiwaniach i przekonaniach GreenX co do przyszłych wydarzeń. Stwierdzenia dotyczące przyszłości obarczone są ryzykiem, niepewnością i innymi czynnikami, z których wiele leży poza kontrolą GreenX, w wyniku czego rzeczywiste wyniki będą istotnie odbiegać od tych stwierdzeń. Nie można zagwarantować, że stwierdzenia dotyczące przyszłości okażą się trafne. GreenX nie zobowiązuje się do późniejszej aktualizacji ani korekty stwierdzeń dotyczących przyszłości zawartych w niniejszym komunikacie, odzwierciedlających okoliczności lub wydarzenia, które wystąpiły po dniu jego sporządzenia.

*Informacje zawarte w tym ogłoszeniu uznawane są przez Spółkę za informacje poufne w rozumieniu Rozporządzenia (EU) nr 596/2014 w sprawie nadużyć na rynku z 2018 r. („MAR”). Po publikacji powyższe informacje poufne uznaje się za dostępne w domenie publicznej.*

Niniejszy komunikat został zatwierdzony do publikacji przez Bena Stoikovicha pełniącego funkcję Dyrektora Generalnego (CEO).

## ZAŁĄCZNIK 1: WYNIKI POSZUKIWAŃ I TABELE JORC

**Tabela 1: Historyczne informacje o otworach wiertniczych (Kampania wierceń z lat 80. XX w.)**

ID otworu wiertniczego	W kierunku wschodnim	W kierunku północnym	Wysokość (m n.p.m.)	Nachylenie (°)	Głębokość (m)
Blankenheim	3553456	5644396	311	90	485
Braach	3548010	5651830	248	90	155
C/77 - B 10	3564020	5658490	236	90	49
DB 141.015-42	3549869	5658977	288	90	270
Herlefeld 1	3553100	5660760	360	90	150
Lengforst	3577840	5654380	283	90	100
Lüdersdorf	3551660	5647250	309	90	489
Mörshausen	3543400	5663670	257	90	412
Obergude	3549600	5659800	313	90	200
Quentel	3545790	5674350	373	90	445
Rengshausen 1	3537330	5653060	321	90	402
Ro 15	3559420	5645330	271	90	351
Ro 16	3559450	5644800	289	90	461
Ro 17	3559630	5644380	304	90	551
Ro 19	3559925	5645500	283	90	361
Ro 21	3558900	5646050	227	90	211
Ro 22	3560000	5644650	273	90	460
Ro 23	3558500	5645524	300	90	380
Ro 24	3555775	5644750	207	90	443
Ro 25	3560400	5644825	322	90	553
Ro 26	3558075	5645850	270	90	400
Ro 27	3556775	5647675	217	90	432
Ro 28	3561525	5643475	351	90	770
Ro 29	3554400	5647350	215	90	459
Ro 31	3557500	5649450	214	90	159
Ro 32	3553025	5642025	195	90	504
Ro 33	3558300	5646425	207	90	249
Ro 34	3558000	5649925	223	90	207
Ro 35	3560500	5645550	349	90	397
Ro 36	3558050	5648600	314	90	320
Ro 37	3556175	5645950	274	90	530
Ro 38	3562450	5645725	251	90	559
Ro 39	3568575	5655350	317	90	196
Ro 40	3550525	5660550	418	90	359
Ro 41	3557800	5645475	418	90	422
Ro 42	3559000	5645182	248	90	307
Ro 43	3555175	5642725	216	90	492
Ro 44	3549500	5650950	287	90	257

ID otworu wiertniczego	W kierunku wschodnim	W kierunku północnym	Wysokość (m n.p.m.)	Nachylenie (°)	Głębokość (m)
Ro 45	3567375	5655175	413	90	289
Ro 46	3568650	5656600	371	90	228
Ro 49	3552810	5639850	291	90	553
Schemmern 1	3557050	5665190	300	90	120
Sontra 1	3566470	5658290	291	90	15
Sterkelshausen	3543600	5652800	310	90	272
Weidenhausen 1	3567580	5675220	263	90	159
Weidenhausen 3	3568640	5676040	181	90	97

Uwaga: Współrzędne w układzie DHDN / 3-stopniowa strefa 3 Gaussa-Krugera

**Tabela 2: Analizy chemiczne archiwalnych rdzeni wiertniczych (Program ponownego profilowania i pobierania próbek rdzeni z 2025 r.)**

Otwór wiertniczy ID	Przecięcie (m)			Cu (%)	Ag (g/t)
	Od	Do	Interwał		
Ro 15	285,6	286,24	0,64	0,44	6
Ro 15	286,24	287	0,76	0,71	11
Ro 15	287	287,56	0,56	0,73	10
Ro 15	288,2	288,76	0,56	3,09	39
Ro 15	288,76	289,3	0,54	2,39	37
Ro 17	481,25	481,6	0,35	0,32	5
Ro 17	481,6	481,96	0,36	1,43	17
Ro 17	481,96	482,3	0,34	1,54	31
Ro 17	482,3	482,55	0,25	1,60	52
Ro 19	339	339,5	0,5	2,00	26
Ro 19	339,5	340,5	1	1,58	19
Ro 19	340,5	341,5	1	1,36	15
Ro 19	341,5	342	0,5	0,38	3
Ro 21	199	199,25	0,25	1,10	13
Ro 21	202	202,5	0,5	0,33	3
Ro 22	435,76	436,26	0,5	0,54	8
Ro 22	436,26	436,76	0,5	0,55	1
Ro 22	436,76	437,26	0,5	0,73	16
Ro 22	437,26	437,76	0,5	0,57	9
Ro 22	437,76	438,26	0,5	0,92	15
Ro 22	438,26	438,63	0,37	0,30	3
Ro 22	438,63	438,95	0,32	4,53	89
Ro 22	438,95	439,4	0,45	0,47	9
Ro 23	366	366,5	0,5	0,85	17
Ro 23	366,5	367	0,5	2,83	75
Ro 23	367	367,5	0,5	4,40	74

Otwór wiertniczy ID	Przecięcie (m)			Cu (%)	Ag (g/t)
	Od	Do	Interwał		
Ro 23	367,5	268,5	1	0,27	4
Ro 25	533,38	533,89	0,51	3,15	66
Ro 25	533,89	534,39	0,5	0,73	15
Ro 26	388,47	388,75	0,28	0,24	21
Ro 26	388,75	389	0,25	0,67	16
Ro 32	486,6	487	0,4	0,38	6
Ro 33	242,7	243,08	0,38	1,27	39
Ro 35	379,15	379,5	0,35	0,63	18
Ro 35	379,5	380	0,5	0,33	10
Ro 35	380	380,5	0,5	0,31	10
Ro 38	536,25	536,66	0,41	0,91	15
Ro 38	536,66	537	0,34	1,70	35
Ro 38	537	537,5	0,5	0,34	7
Ro 38	537,5	538	0,5	0,30	8
Ro 38	538,35	538,7	0,35	0,30	6
Ro 38	538,7	539	0,3	0,39	7
Ro 38	539	539,5	0,5	0,48	10
Ro 41	414	414,53	0,53	0,83	20
Ro 41	414,53	414,85	0,32	0,30	3
Ro 45	268,34	269	0,66	2,10	33
Ro 45	269	269,63	0,63	1,53	21
Ro 45	269,63	270	0,37	1,48	10
Ro 45	270	270,37	0,37	1,06	8

Uwaga: W tej tabeli zawarte są tylko wyniki testów z zawartością nie mniejszą niż 0,3% miedzi.

## Kodeks JORC, wyd. z 2012 r. – Tabela 1 Raport

### Punkt 1 Techniki pobierania próbek i dane

(Kryteria przyjęte w tym punkcie mają zastosowanie do wszystkich kolejnych punktów).

Kryteria	Objaśnienie wg Kodeksu JORC	Komentarz
<p><i>Techniki pobierania próbek</i></p>	<ul style="list-style-type: none"> <li>• <i>Charakter i jakość pobierania próbek (np. wycięte kanały, losowe odłamki lub specjalistyczne standardowe narzędzia pomiarowe odpowiednie dla badanych minerałów, takie jak sondy gamma w otworach wiertniczych lub ręczne instrumenty XRF itp.). Przykłady te nie powinny być traktowane jako ograniczające szerokie możliwe spektrum pobierania próbek.</i></li> <li>• <i>Należy uwzględnić odniesienie do środków podjętych w celu zapewnienia reprezentatywności próbek i odpowiedniej kalibracji wszelkich użytych narzędzi oraz systemów pomiarowych.</i></li> <li>• <i>Aspekty określania mineralizacji, które są istotne dla Raportu Publicznego.</i></li> <li>• <i>W przypadkach, w których wykonano „standardowe” czynności, będzie to stosunkowo proste (np. „wiercenie z odwróconym obiegiem zastosowano do uzyskania próbek o długości 1 m, z których 3 kg materiału sproszkowano w celu uzyskania 30 g wsadu do analizy ogniowej”). W innych przypadkach może być wymagane podanie bardziej szczegółowych objaśnień, na przykład w przypadku gruboziarnistego złota, z którym nieodłącznie występują problemy związane z pobieraniem próbek. Nietypowe surowce lub typy mineralizacji (np. kongregacje podmorskie) mogą uzasadniać ujawnienie szczegółowych informacji.</i></li> </ul>	<p><b><u>Kampania wierceń w latach 80. XX wieku</u></b></p> <ul style="list-style-type: none"> <li>• Wszystkie analizy z lat 80. zawarte w tym komunikacie pochodzą z rdzeni sporządzonych przy użyciu wiertnicy diamentowej. W każdym przypadku rdzeń miał 47 mm średnicy, z wyjątkiem Ro 17 i Ro 15, gdzie średnica rdzenia wynosiła 60 mm. Ze względu na historyczny charakter wyników wierceń przedstawionych w niniejszym dokumencie, nie jest możliwe skomentowanie jakości wierceń, na podstawie których uzyskano opisane wyniki.</li> <li>• Próbki z ¼ rdzenia zostały pobrane podczas wielu etapów poszukiwań w latach 1980–1987 na obszarze objętym koncesją przez spółkę St Joe.</li> <li>• Informacje z lat 80. XX wieku zostały zebrane na podstawie oryginalnych papierowych raportów z tamtego okresu oraz państwowej bazy danych nt. badań. Analizy chemiczne, pomiary geologiczne i pomiary promieniowania gamma zostały przeprowadzone przez St Joe Explorations i Mansfeld AG. Nie są dostępne inne informacje dotyczące wierceń poszukiwawczych.</li> <li>• Autorzy nie podali informacji dotyczących reprezentatywności próbek dla analiz z lat 80.</li> </ul> <p><b><u>Program ponownego profilowania i pobierania próbek rdzeni z 2025 r.</u></b></p> <ul style="list-style-type: none"> <li>• Z rdzeni wykorzystywanych w programie w różnym zakresie pobierane były próbki w ciągu 40 lat przechowywania. Właściciele nałożyli na program określone ograniczenia dotyczące pobierania próbek. W związku z tym zastosowano dwa protokoły próbkowania: pobieranie ¼ rdzenia oraz pobieranie wąskich wycinków (sliver sampling).</li> <li>• W przypadkach, w których pobierano ¼ rdzenia, wykorzystano standardowe w branży metody polegające na pobraniu 25% rdzenia pierwotnie pozyskanego z otworu.</li> <li>• Pobieranie wąskich wycinków stosowano w przypadkach, w których dostępne było jedynie 25% rdzenia, tak aby pozostawić materiał w skrzynce i w prawidłowy sposób zachować archiwum. W takim przypadku przy użyciu specjalistycznej piły pobierano 20% z pozostałych 25% rdzenia. Jeśli w efekcie masa próbki była zbyt mała, to</li> </ul>

Kryteria	Objaśnienie wg Kodeksu JORC	Komentarz
		<p>wydłużano interwały próbkowania, aby zapewnić odpowiednią reprezentatywność.</p> <ul style="list-style-type: none"> <li>• Dla interwałów z większości otworów (Ro 38, Ro 17, Ro 25 i Ro 45) w znaczącej większości próbek pobierano ¼ rdzenia, a pobieranie wąskich wycinków ograniczono do pozostałych, wąskich przedziałów.</li> <li>• W przypadku otworu Ro 23, metodą wąskich wycinków pobrano około 79% próbek, a resztę – metodą ¼ rdzenia.</li> <li>• Dla interwałów z otworu Ro 15 próbki pobierano wyłącznie metodą wąskich wycinków.</li> <li>• Ręczny spektrometr XRF został użyty do potwierdzenia reprezentatywności próbek z wąskich wycinków oraz doboru interwałów próbkowania.</li> <li>• Ze względu na wyjątkowo drobnoziarnistą mineralizację i matriks łupków Kupferschiefer (np. Rahfeld, 2018) wiadomo, że niejednorodność próbkowanego materiału jest bardzo niska. W porównaniu z innymi złożami fundamentalny błąd próbkowania (FSE) mieści się prawdopodobnie w przedziale 2-5% współczynnika zmienności (Absalov, 2011). Oznacza to, że błąd wprowadzany na etapie pobierania podpróbek rdzenia oraz próbek jest pomijalny, a do oceny zawartości wystarczają próbki o bardzo małej wielkości.</li> <li>• Aby dodatkowo potwierdzić niską wartość FSE dla próbek z wąskich wycinków wykonano pomiary pXRF w odstępach co 5–10 cm w miejscach pobrania tych próbek. Wyniki pomiarów pXRF potwierdziły, że błąd jest bardzo niewielki i że zastosowanie próbek z wąskich wycinków rdzenia jest wystarczające do oceny zawartości.</li> <li>• Ręczny spektrometr XRF był używany wyłącznie do weryfikacji próbek z wąskich wycinków oraz do pomocy w doborze interwałów próbkowania. Zastosowano urządzenie Olympus Vanta (V2MR) skonfigurowane z kalibracją GeoChem(3). Czas pojedynczego pomiaru wynosił 40 sekund. Codziennie przed rozpoczęciem pracy analizowano próbkę pustą i/lub certyfikowany materiał referencyjny (CRM). Wdrożone były procedury zapewniające prawidłową obsługę urządzenia.</li> <li>• Pobieranie próbek ¼ rdzenia odbywało się zgodnie z procedurami standardowo stosowanymi w branży. Dla każdego otworu przez cały czas pobierano próbki z tej samej strony rdzenia. Próbki cięto z użyciem specjalistycznej automatycznej piły do cięcia rdzeni, która pozwala wyeliminować straty próbek.</li> <li>• Pobieranie wąskich wycinków rdzenia (<i>sliver</i></li> </ul>

Kryteria	Objaśnienie wg Kodeksu JORC	Komentarz
		<p><i>sampling</i>) nie jest powszechnie stosowane dla większości złóż, choć wiadomo, że stosuje się je w niektórych złóżach miedzi o genezie sedymentacyjnej, podobnych do złóż Kupferschiefer. Ze względu na wyjątkowo drobnoziarnistą mineralizację i matriks łupków Kupferschiefer (np. Rahfeld, 2018) wiadomo, że niejednorodność próbkowanego materiału jest bardzo niska. W porównaniu z innymi złóżami fundamentalny błąd próbkowania FSE mieści się prawdopodobnie w przedziale 2-5% współczynnika zmienności (Absalov, 2011). Oznacza to, że błąd wprowadzany na etapie pobierania podpróbek rdzenia oraz próbek jest pomijalny, i wystarczają próbki o bardzo małej wielkości.</p>
<p>Techniki wiertnicze</p>	<ul style="list-style-type: none"> <li>• <i>Typ wiertła (np. rdzeniowe, z odwróconym obiegiem, młotkowe, pneumatyczne, ślimakowe, Bangka, soniczne itp.) i szczegóły (np. średnica rdzenia, potrójna lub standardowa rura, głębokość ogonów diamentowych, wiertło do pobierania próbek czołowych lub innego typu, czy rdzeń jest zorientowany, a jeśli tak, to jaką metodą itp.).</i></li> </ul>	<p><b><u>Kampania wierceń w latach 80. XX wieku</u></b>        Wszystkie próbki zostały pobrane z rdzeni, a rdzenie z otworów miały w każdym przypadku 47 mm średnicy, z wyjątkiem Ro 17 i Ro 15, gdzie średnica wynosiła 60 mm. Nie są dostępne żadne inne informacje o wierceniach.</p>
<p>Pozyskiwanie próbek z otworów wiertniczych</p>	<ul style="list-style-type: none"> <li>• <i>Metoda rejestracji i oceny odzysku próbek rdzenia i odłamków oraz ocena wyników.</i></li> <li>• <i>Środki podjęte w celu maksymalizacji odzysku próbek i zapewnienia ich reprezentatywności.</i></li> <li>• <i>Czy istnieje zależność między współczynnikiem odzysku próbek a ich jakością oraz czy mogło dojść do utraty reprezentatywności próbki ze względu na preferencyjną utratę/pozyskanie drobnego/grubego materiału?</i></li> </ul>	<ul style="list-style-type: none"> <li>• Uzysk rdzenia w większości przypadków wynosił 100%. W przypadku dwóch otworów uzysk w strefie zmineralizowanej spadł poniżej 90% (75% i 86%).</li> <li>• Powyższe współczynniki odzysku mierzone są na podstawie rdzeni dostępnych do próbkowania w 2025 r.</li> <li>• Przyjmuje się, że w niektórych przypadkach niskie odzyski rdzenia mogły wynikać z tego, że badacze usuwali niewielkie fragmenty rdzenia zawierające podwyższone zawartości miedzi. Z tego względu do raportowania wybrano jedynie te otwory, w których odzysk rdzenia w strefie docelowej przekraczał 90%.</li> <li>• Ze względu na tę właśnie możliwość, że fragmenty bogate w miedź zostały usunięte w przeszłości, istnieje możliwość, że interwały będące przedmiotem tego komunikatu mogą zaniżać rzeczywiste zawartości miedzi. Skalę tego efektu ograniczono wprowadzając kryterium doboru otworów z odzyskiem rdzenia na poziomie co najmniej 90%.</li> </ul>

Kryteria	Objaśnienie wg Kodeksu JORC	Komentarz
<p><i>Profilowanie</i></p>	<ul style="list-style-type: none"> <li>• <i>Czy próbki rdzeni i odłamków zostały sprofilowane geologicznie i geotechnicznie na poziomie szczegółowości umożliwiającym odpowiednie oszacowanie zasobów mineralnych oraz przeprowadzenie badań górniczych i metalurgicznych?</i></li> <li>• <i>Czy profilowanie ma charakter jakościowy, czy ilościowy? Fotografia rdzenia (lub costeanu, kanału itp.).</i></li> <li>• <i>Łączna długość i procent sprofilowanych istotnych intersekcji.</i></li> </ul>	<ul style="list-style-type: none"> <li>• Profilowanie geologiczne i geotechniczne zostało zrealizowane zgodnie z najlepszymi praktykami branżowymi; dane te mogłyby stanowić podstawę do szacowania Zasobów Mineralnych. Należy zauważyć, że w niniejszym komunikacie nie są raportowane Zasoby Mineralne wg JORC.</li> <li>• <i>Profilowanie geologiczne i geotechniczne ma charakter jakościowy.</i> Wykonano zdjęcia mokrego i suchego rdzenia.</li> </ul> <p><b><u>Kampania wierceń w latach 80. XX wieku</u></b></p> <ul style="list-style-type: none"> <li>• Cały otwór został sprofilowany, strefa docelowa ma zazwyczaj 2 m grubości.</li> </ul> <p><b><u>Program ponownego profilowania i pobierania próbek rdzeni z 2025 r.</u></b></p> <ul style="list-style-type: none"> <li>• Sprofilowano wszystkie dostępne rdzenie. Dostępne rdzenie zawsze obejmowały zmineralizowany horyzont stratygraficzny T1 oraz przedziały przynajmniej 10 m nad i pod tą jednostką. W większości przypadków profilowano przynajmniej 90 m rdzenia, a dla niektórych otworów - cały ich przebieg.</li> </ul>
<p><i>Techniki pobierania próbek cząstkowych i przygotowanie próbek</i></p>	<ul style="list-style-type: none"> <li>• <i>Jeżeli rdzeń, to czy jest cięty, czy piłowany, oraz czy pobrano ćwierć, pół rdzenia, czy cały rdzeń?</i></li> <li>• <i>Jeśli nie jest to rdzeń, to czy próbka została pobrana metodą ryflowania, pozyskania z rury, podziału obrotowego itp., oraz czy próbka została pobrana na mokro, czy na sucho?</i></li> <li>• <i>Dla wszystkich typów próbek, charakter, jakość i adekwatność techniki przygotowania próbki.</i></li> <li>• <i>Procedury kontroli jakości przyjęte dla wszystkich etapów pobierania próbek w celu zmaksymalizowania ich reprezentatywności.</i></li> <li>• <i>Środki podjęte w celu zapewnienia, że pobieranie próbek jest reprezentatywne dla zebranego materiału in situ, w tym na przykład wyniki dla podwójnego/półowicznego pobierania próbek w terenie.</i></li> <li>• <i>Czy wielkość próbki jest odpowiednia do wielkości ziarna pobieranego materiału?</i></li> </ul>	<p><b><u>Kampania wierceń w latach 80. XX wieku</u></b></p> <ul style="list-style-type: none"> <li>• Próbki wycinano piłą, pobierano ¼ rdzenia.</li> <li>• Techniki przygotowania próbek nieznane.</li> <li>• Procedury QA/QC nieznane.</li> <li>• Metody zapewnienia reprezentatywności próbek nieznane.</li> <li>• Na podstawie pozostałych rdzeni wiertniczych można przypuszczać, że do analiz pobierano najprawdopodobniej ćwierć rdzenia.</li> </ul> <p><b><u>Program ponownego profilowania i pobierania próbek rdzeni z 2025 r.</u></b></p> <ul style="list-style-type: none"> <li>• W przypadkach, gdy pobierano ¼ rdzenia, stosowano standardowe w branży metody próbkowania.</li> <li>• W miejscach, gdzie pobierano próbki wąskich wycinków rdzenia, małą piłą do skał odcinano 20% dostępnej ćwiartki rdzenia.</li> <li>• We wszystkich przypadkach pobierano próbki z tej samej strony rdzenia, od góry do dołu.</li> <li>• We wszystkich przypadkach stosowano branżowe standardy oraz akredytowane techniki. Próbki ważono, następnie kruszono w kruszarce szczękowej do uzyskania 75% ziaren przechodzących przez sito 2 mm. Skruszoną próbkę dzielono następnie przy użyciu dzielnika obrotowego do masy 250 g. Tak wydzieloną podpróbkę mielono do uzyskania 85% ziaren przechodzących przez sito o oczku 75 µm.</li> <li>• Wszystkie procedury były akredytowane</li> </ul>

Kryteria	Objaśnienie wg Kodeksu JORC	Komentarz
		<p>zgodnie z normą ISO/IEC 17025.</p> <ul style="list-style-type: none"> <li>Zarówno dla etapu kruszenia, jak i mielenia wykonywano i raportowano testy odsiewu. Wyniki potwierdziły, że rozdrobnienie spełniało, a nawet przekraczało powyższe wymagania.</li> <li>Stosowano standardowe w branży metody kontroli jakości. GRX wykorzystał duplikaty próbek z etapu kruszenia i mielenia, wprowadzając je z częstością 1/50 dla każdej z tych grup. Duplikatów terenowych nie stosowano ze względu na ograniczoną ilość rdzenia dostępnego do pobierania próbek.</li> <li>Maksymalny błąd między duplikatami po kruszeniu wyniósł 2,0% dla miedzi i 0% dla srebra, co potwierdza, że fundamentalny błąd próbkowania (FSE) jest niski, a próbki z wąskich wycinków rdzenia są reprezentatywne dla mineralizacji.</li> <li>W przypadku próbek z ¼ rdzenia, masa wynosiła pomiędzy 0,19 kg a 7,89 kg. Jest to odpowiedni wynik.</li> <li>W przypadku próbek z wąskich wycinków rdzenia, masa wynosiła pomiędzy 0,1 kg a 0,84 kg. Jest to odpowiedni wynik, biorąc pod uwagę niski błąd FSE, weryfikację pXRF oraz niski błąd wykazany w duplikatach z etapu kruszenia.</li> </ul>
<p>Jakość danych analitycznych i badań laboratoryjnych</p>	<ul style="list-style-type: none"> <li>Charakter, jakość i adekwatność zastosowanych procedur analitycznych i laboratoryjnych oraz to, czy dana technika jest uważana za częściową, czy całkowitą.</li> <li>W przypadku narzędzi geofizycznych, spektrometrów, ręcznych instrumentów XRF itp., należy podać parametry zastosowane do określenia analizy, w tym markę i model instrumentu, czasy odczytu, zastosowane współczynniki kalibracji i ich wyprowadzenie itp.</li> <li>Charakter przyjętych procedur kontroli jakości (np. wzorce, próbki zerowe, duplikaty, zewnętrzne kontrole laboratoryjne) oraz czy ustalono akceptowalne poziomy dokładności (tj. brak błędu systematycznego) i precyzji.</li> </ul>	<p><b><u>Kampania wierceń w latach 80. XX wieku</u></b></p> <ul style="list-style-type: none"> <li>Analiza geochemiczna została przeprowadzona przez Robertson Research Ltd, w Walii, niemniej nieznany jest dokładny charakter, jakość i adekwatność zastosowanych analiz. Nieznany jest dokładny charakter, jakość i adekwatność zastosowanych analiz.</li> </ul> <p><b><u>Program ponownego profilowania i pobierania próbek rdzeni z 2025 r.</u></b></p> <ul style="list-style-type: none"> <li>Stosowano standardy branżowe oraz akredytowane procedury. Wszystkie próbki analizowano za pomocą trawienia czterema kwasami, z oznaczeniem metodą emisyjnej spektrometrii atomowej ze wzbudzeniem w plazmie indukcyjnie sprzężonej (ICP-AES). W przypadku wyników przekraczających górną granicę oznaczalności dla powyższej metody, stosowano oznaczenie metodą absorpcyjnej spektrometrii atomowej (AAS).</li> <li>Wszystkie procedury były akredytowane zgodnie z normą ISO/IEC 17025.</li> <li>Ręczny spektrometr XRF był używany wyłącznie do weryfikacji próbek z wąskich wycinków oraz do pomocy w doborze interwałów próbkowania. Zastosowano urządzenie Olympus Vanta (V2MR) skonfigurowane z kalibracją GeoChem(3).</li> </ul>

Kryteria	Objaśnienie wg Kodeksu JORC	Komentarz
		<p>Czas pojedynczego pomiaru wynosił 40 sekund. Codziennie przed rozpoczęciem pracy analizowano próbkę pustą i/lub certyfikowany materiał referencyjny (CRM). Wdrożone były procedury zapewniające prawidłową obsługę urządzenia.</p> <ul style="list-style-type: none"> <li>• Próbki do celów kontroli jakości stanowiły 10% całkowitej liczby próbek. Na każde 100 próbek wprowadzono 4 certyfikowane materiały odniesienia: dwa duplikaty pyliste, dwa duplikaty z etapu kruszenia, oraz dwie próbki puste.</li> <li>• Jeżeli była taka możliwość, to certyfikowane materiały referencyjne dobierano przy użyciu macierzy; obejmowały one zarówno materiały na poziomie rudy oraz na poziomie proggu opłacalności dla miedzi i srebra.</li> </ul>
<p>Weryfikacja procesu pobierania próbek i oznaczania</p>	<ul style="list-style-type: none"> <li>• Weryfikacja istotnych intersekcji przez niezależny lub alternatywny personel spółki.</li> <li>• Wykorzystanie otworów bliźniaczych.</li> <li>• Dokumentacja danych pierwotnych, procedury wprowadzania danych, weryfikacja danych, protokoły przechowywania danych (fizyczne i elektroniczne).</li> <li>• Omówienie wszelkich korekt danych analitycznych.</li> </ul>	<p><b><u>Kampania wierceń w latach 80. XX wieku</u></b></p> <ul style="list-style-type: none"> <li>• Istotne przedziały mineralizacji z wierceń prowadzonych w latach 80. zostały zweryfikowane w ramach programu powtórnego profilowania i pobierania próbek rdzeni z 2025 r.</li> </ul> <p><b><u>Program ponownego profilowania i pobierania próbek rdzeni z 2025 r.</u></b></p> <ul style="list-style-type: none"> <li>• Nie przeprowadzono weryfikacji.</li> <li>• Raport nie stwierdza otworów bliźniaczych.</li> <li>• Dokonano weryfikacji 10% elektronicznych rejestrów danych poprzez porównanie z dokumentacją papierową, skupiając się na zawartości rudy.</li> <li>• Nie wprowadzono korekt.</li> </ul>
<p>Lokalizacja punktów danych</p>	<ul style="list-style-type: none"> <li>• Dokładność i jakość pomiarów wykorzystywanych do lokalizacji otworów wiertniczych (kołnierzowych i wgłębnych), wykopów, wyrobisk górniczych i innych lokalizacji wykorzystywanych do szacowania zasobów mineralnych.</li> <li>• Specyfikacja zastosowanego układu współrzędnych.</li> <li>• Jakość i adekwatność kontroli topograficznej.</li> </ul>	<ul style="list-style-type: none"> <li>• Dokładność lokalizacji jest nieznana. Lokalizacja otworów wykonanych przez St Joe Explorations pochodzi z tabel z danymi z wylotów otworów w raportach historycznych. Wszystkie pozostałe lokalizacje wylotów otworów wiertniczych pochodzą z państwowych/federalnych baz danych.</li> <li>• Szerokość i długość geograficzna w stopniach, minutach i sekundach zostały podane przez St Joe Explorations.</li> <li>• Nieznana</li> </ul>
<p>Rozmieszczenie i dystrybucja danych</p>	<ul style="list-style-type: none"> <li>• Rozmieszczenie danych na potrzeby raportowania wyników prac poszukiwawczych.</li> <li>• Czy rozstaw i rozmieszczenie danych są wystarczające do określenia stopnia ciągłości geologicznej oraz ciągłości zawartości metalu, odpowiednich dla zastosowanych procedur szacowania Zasobów Mineralnych i Rezerwy Złoża oraz</li> </ul>	<ul style="list-style-type: none"> <li>• Od 400 m do 700 m.</li> <li>• Nie są raportowane Zasoby Mineralne JORC.</li> <li>• Budowa próbek kompozytowych nie została podjęta.</li> </ul>

Kryteria	Objaśnienie wg Kodeksu JORC	Komentarz
	<p>zastosowanych klasyfikacji?</p> <ul style="list-style-type: none"> <li>• Czy zastosowano łączenie próbek?</li> </ul>	
<p><i>Orientacja danych w stosunku do struktury geologicznej</i></p>	<ul style="list-style-type: none"> <li>• Czy orientacja pobierania próbek zapewnia bezstronne pobieranie próbek możliwych struktur i w jakim stopniu jest to znane, zważywszy na rodzaj złoża?</li> <li>• Jeżeli związek między orientacją wiercenia a orientacją kluczowych struktur mineralnych zostanie uznany za wprowadzający błąd w zakresie poboru próbek, należy to ocenić i zgłosić w przypadku uznania danego przypadku za istotny.</li> </ul>	<ul style="list-style-type: none"> <li>• Warstwa docelowego łupka miedzionożelaznego Kupferschiefer jest płaska lub lekko nachylona, dlatego wiercenia pionowe przecinają ją pod kątem prostym i są odpowiednie.</li> <li>• Brak stronniczości próbkowania wynikającej z kątów przecięcia.</li> </ul>
<p><i>Zabezpieczenia próbek</i></p>	<ul style="list-style-type: none"> <li>• Środki podjęte w celu zapewnienia bezpieczeństwa próbek.</li> </ul>	<p><b><u>Kampania wierceń w latach 80. XX wieku</u></b></p> <ul style="list-style-type: none"> <li>• Metody nie są znane.</li> <li>• Rdzenie przechowywane są w bezpiecznej lokalizacji w Niemczech.</li> </ul> <p><b><u>Program ponownego profilowania i pobierania próbek rdzeni z 2025 r.</u></b></p> <ul style="list-style-type: none"> <li>• Dla całego procesu transportu rdzeni i próbek prowadzono pełen rejestr pozwalający prześledzić cały łańcuch dostaw.</li> </ul>
<p><i>Audyty lub przeglądy</i></p>	<ul style="list-style-type: none"> <li>• Wyniki wszelkich audytów lub przeglądów technik doboru próbek i danych.</li> </ul>	<ul style="list-style-type: none"> <li>• Nie przeprowadzono audytów.</li> </ul>

## Punkt 2 Raport dotyczący wyników prac poszukiwawczych

(Kryteria z poprzedniego punktu mają również zastosowanie do niniejszego punktu).

Kryteria	Objaśnienie wg Kodeksu JORC	Komentarz
<p><i>Stan prawny w zakresie prawa do użytkowania surowców mineralnych i gruntów</i></p>	<ul style="list-style-type: none"> <li>• Rodzaj, nazwa/numer referencyjny, lokalizacja i własność, w tym umowy lub istotne kwestie związane ze stronami trzecimi, takie jak wspólne przedsięwzięcia, partnerstwa, nadrzędne opłaty licencyjne, rodzime tytuły prawne, miejsca historyczne, obszary występowania dzikiej przyrody lub parki narodowe oraz uwarunkowania środowiskowe.</li> <li>• Bezpieczeństwo tytułu prawnego posiadanego w momencie składania raportu wraz z wszelkimi znanymi przeszkodami do uzyskania koncesji na prowadzenie działalności na danym obszarze.</li> </ul>	<ul style="list-style-type: none"> <li>• Koncesja Tannenberg 1 jest w 100% własnością spółki Group 11 Exploration GmbH (Group 11), spółki zależnej od GreenX. Koncesje zostały udzielone w dniu 6 czerwca 2025 r. na trzy lata do 6 czerwca 2028 r. Koncesja jest wolna od nadrzędnych opłat licencyjnych i rodzimych tytułów prawnych. Na obszarze objętym koncesją znajdują się historyczne wyrobiska górnicze, ale nie są znane żadne historyczne miejsca o znaczeniu kulturowym spoza dziedziny górnictwa.</li> <li>• Koncesja poszukiwawcza Tannenberg 2 jest także w 100% własnością Group 11. Koncesja została przyznana od 22 kwietnia 2025 r. i jest ważna przez trzy lata, także do 6 czerwca 2028 r.</li> <li>• W obrębie i wokół obu obszarów objętych koncesją znajdują się strefy ochrony środowiska o różnych poziomach ochrony. Występują niewielkie obszary zidentyfikowane jako obszary siedlisk fauny i</li> </ul>

Kryteria	Objaśnienie wg Kodeksu JORC	Komentarz
		<p>flory Natura 2000 oraz ostoje ptaków. Pozostałe wyznaczone obszary ochrony środowiska obejmują rezerваты przyrody, narodowe pomniki przyrody, obszary ochrony krajobrazu i parki krajobrazowe. W oparciu o badanie <i>due diligence</i> oraz rozmowy z różnymi interesariuszami i konsultantami, stwierdzone zostało, że występowanie obszarów ochrony środowiska nie wyklucza możliwości prowadzenia prac poszukiwawczych ani ewentualnej działalności wydobywczej, o ile będą one prowadzone zgodnie z obowiązującymi normami i przepisami.</p> <ul style="list-style-type: none"> <li>• Teren na obszarze objętym koncesją składa się głównie z gruntów rolnych, obszarów leśnych oraz małych miast i wsi.</li> <li>• Koncesje są w dobrym stanie.</li> </ul>
<p>Prace poszukiwawcze prowadzone przez inne podmioty</p>	<ul style="list-style-type: none"> <li>• <i>Potwierdzenie i ocena prac poszukiwawczych prowadzonych przez inne podmioty.</i></li> </ul>	<ul style="list-style-type: none"> <li>• Prace poszukiwawcze w latach 30. XX wieku prowadzone były przez Mansfeld AG, a ich efektem było 95 otworów wiertniczych wykorzystanych do otwarcia w regionie 3 kopalń, a także rekomendacje do otwarcia dwóch kolejnych, co nigdy się nie zmaterializowało.</li> <li>• Prace poszukiwawcze były prowadzone przez St Joe Explorations (w ramach wspólnego przedsięwzięcia z Broken Hill Pty Co Ltd, później dużą globalną firmą wydobywczą) w latach 1980–1987. Podjęto dwa projekty. Projekt Richelsdorf na obszarze objętym koncesją oraz projekt Spessart-Rhoen 85 km na południe. Oznaczenia identyfikacyjne rozpoczynające się od „Ro” oznaczają odwierty wykonane przez St Joe Explorations.</li> <li>• W przeszłości na obszarze objętym koncesją prowadzone było wydobywanie. Działalność wydobywcza zakończyła się w latach 50. XX wieku.</li> </ul>
<p>Geologia</p>	<ul style="list-style-type: none"> <li>• <i>Typ złoża, warunki geologiczne i styl mineralizacji.</i></li> </ul>	<ul style="list-style-type: none"> <li>• Mineralizacja jest klasycznym typem Kupferschiefer (łupek miedziowy) w permskim basenie cechsztyńskim w Niemczech i Polsce.</li> <li>• Basen cechsztyński znajduje się w obrębie europejskiego południowego basenu permskiego („SPB”). SPB to basen wewnątrzkontynentalny, który rozwinął się na północnym przedpolu orogenu waryscyjskiego.</li> <li>• Mineralizacja o bardzo wysokiej zawartości miedzi generalnie jest powiązana z jednostką łupka Kupferschiefer. Niemniej jednak mineralizacja miedzi o potencjale wydobywczym występuje również w piaskowcach spągowych i wapieniach skrzydła wiszącego w Polsce. Mineralizacja może być odsunięta od łupków o 30 m</li> </ul>

Kryteria	Objaśnienie wg Kodeksu JORC	Komentarz
<p>Informacje o otworach wiertniczych</p>	<ul style="list-style-type: none"> <li>Podsumowanie wszystkich informacji istotnych dla zrozumienia wyników poszukiwań, w tym zestawienie następujących informacji dla wszystkich istotnych otworów wiertniczych               <ul style="list-style-type: none"> <li>w kierunku wschodnim i północnym wylotu otworu wiertniczego</li> <li>wysokość lub RL (Reduced Level – wysokość nad poziomem morza w metrach) wylotu otworu wiertniczego</li> <li>nachylenie i azymut otworu</li> <li>długość odcinka w otworze i głębokość przecięcia stref mineralizacji</li> <li>długość otworu.</li> </ul> </li> <li>Jeżeli wyłączenie tych informacji jest uzasadnione tym, że nie są one istotne, przy czym wyłączenie to nie wpływa niekorzystnie na zrozumienie raportu, Osoba Kompetentna powinna jasno określić, dlaczego tak się stało.</li> </ul>	<p>powyżej i 60 m poniżej ich warstwy.</p> <ul style="list-style-type: none"> <li>Wszystkie informacje o wylotach otworów wiertniczych podano w Tabeli 1 i 2 w Załączniku 1.</li> </ul>
<p>Metody agregacji danych</p>	<ul style="list-style-type: none"> <li>W raportowaniu wyników poszukiwań, techniki uśredniania wagowego, obcinanie maksymalnych oraz/lub minimalnych zawartości (np. obcinanie wysokich zawartości), a także graniczne poziomy zawartości są zazwyczaj istotne, w związku z czym należy je podać.</li> <li>W przypadku, gdy zagregowane przecięcia mineralizacji obejmują krótkie odcinki wyników o wysokiej zawartości i dłuższe odcinki wyników o niskiej zawartości, należy podać procedurę zastosowaną do takiej agregacji oraz szczegółowo przedstawić kilka typowych przykładów takiej agregacji.</li> <li>Należy jasno określić założenia przyjęte do raportowania wartości ekwiwalentu metalu.</li> </ul>	<ul style="list-style-type: none"> <li>Do wyznaczenia strefy mineralizacji wybrano próbki o zawartości miedzi powyżej wartości progowej 0,30% Cu.</li> <li>Stworzono próbki kompozytowe do pełnej miąższości; kompozyty ważone długością wyznaczono na podstawie poszczególnych interwałów analitycznych.</li> <li>W zbiorze danych nie stosowano odcięcia najwyższych wartości (top cuts) ani limitów maksymalnej zawartości (grade caps).</li> <li>Nie zgłoszono ekwiwalentów metalu.</li> </ul>
<p>Zależność pomiędzy miąższością mineralizacji a długościami przecięć mineralizacji.</p>	<ul style="list-style-type: none"> <li>Zależności te są szczególnie ważne w przypadku raportowania wyników prac poszukiwawczych.</li> <li>Jeżeli geometria mineralizacji w odniesieniu do kąta otworu wiertniczego jest znana, należy podać jej charakter.</li> <li>Jeżeli informacje te nie są znane i podana została tylko długość odcinka w otworze, należy to wyraźnie zaznaczyć (np. „długość odcinka w otworze, rzeczywista miąższość nie</li> </ul>	<ul style="list-style-type: none"> <li>Otwory wiertnicze wykonywano prostopadle do mineralizacji, w związku z czym przecięcia stref mineralizacji są takie same jak miąższość mineralizacji.</li> </ul>

Kryteria	Objaśnienie wg Kodeksu JORC	Komentarz
	<i>jest znana”).</i>	
Schematy	<ul style="list-style-type: none"> <li>W przypadku raportowania istotnego odkrycia należy załączyć odpowiednie mapy i przekroje (wraz ze skalą) oraz tabele z danymi dotyczącymi przecięć mineralizacji. Powinny one obejmować m.in. plan rozmieszczenia wylotów otworów wiertniczych na powierzchni oraz odpowiednie przekroje geologiczne.</li> </ul>	<ul style="list-style-type: none"> <li>Odpowiednie mapy i przekroje zostały dołączone jako Rys. 1, 2, 3 i 4. Zobacz także mapy zawarte w komunikatach z 2 sierpnia 2024 r. i 28 kwietnia 2025 r., 11 września 2025 r. i 20 listopada 2025 r.</li> </ul>
Sprawozdawczość zrównoważona	<ul style="list-style-type: none"> <li>W przypadku, gdy kompleksowe raportowanie wszystkich wyników prac poszukiwawczych nie jest możliwe, należy stosować reprezentatywne raportowanie zarówno niskich, jak i wysokich zawartości oraz/lub szerokości, aby uniknąć mylącego raportowania wyników prac poszukiwawczych.</li> </ul>	<ul style="list-style-type: none"> <li>Przy określaniu mineralizacji oraz ciągłości geologicznej uwzględniono wszystkie dane.</li> <li>Otwory wiertnicze z przecięciami stref mineralizacji o zawartości poniżej progu modelowania 0,30% Cu nie były uwzględniane przy obliczaniu przedziałów zawartości i miąższości.</li> <li>Przy definiowaniu strefy mineralizacji narzucona została minimalna miąższość 1,50 m. Interwały o zawartości metalu poniżej minimalnego progu włączano do kompozytu tylko jeżeli ogólna zawartość w kompozycie wynosiła ponad 0,30% Cu, a minimalna miąższość nie została jeszcze osiągnięta.</li> <li>Przy określaniu przedziałów zawartości uwzględniono jeden otwór wiertniczy znajdujący się poza obszarem Celu Eksploracyjnego. Pozostałe otwory nie spełniły minimalnych kryteriów zawartości i miąższości.</li> </ul>
Inne istotne dane dotyczące poszukiwań	<ul style="list-style-type: none"> <li>Inne dane dotyczące poszukiwań, o ile mają znaczenie i są istotne, powinny być raportowane, w tym m.in.: obserwacje geologiczne; wyniki badań geofizycznych; wyniki badań geochemicznych; próbki masowe – wielkość i metoda obróbki; wyniki testów metalurgicznych; gęstość nasypowa, wody gruntowe, charakterystyka geotechniczna i skalna; potencjalne substancje szkodliwe lub zanieczyszczające.</li> </ul>	<ul style="list-style-type: none"> <li>Raportowane są wszystkie istotne wyniki. Logi geologiczne i logi gamma z otworów wiertniczych nie są tu podawane.</li> </ul>
Dalsze prace	<ul style="list-style-type: none"> <li>Charakter i skala planowanych dalszych prac (np. testy bocznych rozszerzeń lub rozszerzeń głębokościowych albo wiercenia stopniowe na dużą skalę).</li> <li>Schematy wyraźnie podkreślające obszary możliwej ekspansji, w tym główne interpretacje geologiczne i przeszłe obszary wierceń, pod warunkiem, że informacje te nie są poufne z handlowego punktu widzenia.</li> </ul>	<ul style="list-style-type: none"> <li>Wejście do historycznych wyrobisk oraz prace podziemne zaplanowano na II półrocze 2026 r. w celu wykonania testów metalurgicznych na poziomie Wstępnego Studium Wykonalności (<i>Scoping Study</i>), pobrania próbek odłamków, kartowania oraz uszczegółowienia modelu 3D.</li> <li>Obecnie trwa zestawianie i digitalizacja historycznych danych geologicznych oraz danych dotyczących rozwoju kopalni i produkcji z wersji papierowych;</li> <li>W razie potrzeby przeprowadzone zostaną badania sejsmiczne, które wspomogą przyszłe kampanie wiertnicze (rozpoczęcie w II poł. 2026 r.).</li> </ul>

Kryteria	Objaśnienie wg Kodeksu JORC	Komentarz
		<ul style="list-style-type: none"><li data-bbox="943 286 1501 344">• Rozpoczęcie kampanii pierwszych wierceń (przełom 2026/2027 r.).</li></ul>